

In_xGa_{1-x}N/GaN 박막의 광학적 특성

전용기·정상조*

호원대학교 교양과

* (주) ATC 기술연구소

Optical properties of In_xGa_{1-x}N/GaN epilayers

Yong-Ki Jun and Sang-Jo Chung*

Department of Liberal Art and Science, Howon University

*Applied Technology Corporation, R & D Center

(2001년 10월 20일 받음, 2002년 1월 4일 최종수정본 반음)

Abstract We have grown undoped In_xGa_{1-x}N, In_xGa_{1-x}N:Si and In_{0.1}Ga_{0.9}N:Zn thin films by MOCVD at temperature between 880 and 710°C which endows various In composition in the epilayer from 0.07 to 0.22 as examined using X-ray diffraction, optical absorption(OA), photocurrent (PC) and photoluminescence (PL). The In molar fraction estimated from PL results is higher than that from the OA, PC, and X-ray data for X≤0.22, which may be caused by phase separation. However, the In molar fraction estimated by X-ray diffraction, OA, PC and PL for In_xGa_{1-x}N:Si does not show discrepancy. With the appropriate Zn doping in undoped In_{0.1}Ga_{0.9}N, the emission peak is shifted from 3.15 eV which originates from the band edge emission peak to 2.65 eV which resulted from the conduction band to acceptor transition due to a deep acceptor level.

Key words: optical absorption, photocurrent, phase separation, In_xGa_{1-x}N surfactant

1. 서 론

GaN를 기반으로 하는 III-V 쪽 질화물 반도체는 넓은 띠 간격을 갖는 직점천이형 반도체로서 GaN, AlN 및 InN의 합금을 형성하여 에너지 간격을 1.9 eV (InN)로부터 3.4 eV (GaN) 및 6.2 eV (AlN) 까지 광범위하게 조절할 수 있기 때문에 가시광 영역 및 자외선 영역의 단파장 광소자의 응용이 가능한 물질이다.^{1,2)} 특히 In_xGa_{1-x}N은 발광 다이오드(LED)³⁾, 레이저 다이오드(LD)⁴⁾ 등의 광전소자 응용에 있어서 인듐 조성(composition)에 따라 띠 간격을 2.0 eV에서 3.4 eV 까지 변화시킬 수 있기 때문에 청색 발광의 활성층(active layer)으로서 매우 중요한 물질이다.

최근에 In_xGa_{1-x}N 박막에 대한 발광 특성을 밝히기 위한 연구들이 활발히 이루어지고는 있으나 In_xGa_{1-x}N 합금은 성장하는데 있어서 InN와 GaN의 격자 불일치(lattice mismatch)로 기인된 상분리(phase separation)⁵⁾ 현상과 성분 불균일성(composition inhomogeneity)⁶⁾, 표면 갈라놓기(surface segregation)⁷⁾, 그리고 깊은 준위와 관련된 발광 열개(mechanism) 등은 아직까지도 일관되게 설명되지 못하고 있다. 그러므로 In_xGa_{1-x}N 박막의 광학적 특성을 이해하는 일은 발광 효율이 높은 양질의 시료를 얻고 이를 소자에 응용하는데 있어서도 꼭 필요하다. 따라서 본 연구에서는 MOCVD를 이용하여 의도적으로 불순물을 첨가

하지 않은 In_xGa_{1-x}N와 불순물로 Si, Zn을 의도적으로 첨가한 In_xGa_{1-x}N 박막을 각각 성장하였다. 성장된 시료들에 대한 광학적 특성을 이해하기 위해 광흡수(OA), 광전류(PC), 광발광(PL) 등을 측정하여 인듐 조성에 따른 에너지 띠 간격과 의도적으로 첨가한 불순물의 효과 등을 분석하였다.

2. 실험 방법

본 연구에서 사용된 모든 시료들은 MOCVD 법을 이용하여 사파이어 기판 위에 성장된 것들이다. 시료의 성장과정은 다음과 같다. 먼저 수소분위기 속에서 1100°C의 온도로 기판을 표면 클리닝 한 다음, 500~570°C 온도에서 25~40 nm 두께로 GaN 원층층을 성장하였다. 다시 온도를 1080°C로 올려 2 μm 두께로 undoped GaN 층을 성장시킨 다음, 연속적으로 GaN 층 위에 In_xGa_{1-x}N 박막층을 710~880°C 사이의 온도에서 성장하였다. 성장된 시료의 두께를 0.1~0.3 μm까지 변화시켰다.

성장된 In_xGa_{1-x}N 박막의 조성 및 광학적 특성을 조사하기 위해 광흡수, 광전류, 광발광을 측정하였다. 광흡수 특성은 UV-VIS-NIR spectrophotometer(Hitachi, U-3501)를 사용하여 300~900 nm의 파장영역에서 측정하였다. 광전류 측정에서 시료의 전극은 자유전자와 자유정공의 재결합으로 인한 광전류의 감소현상을 줄이기 위해 빛의

* E-mail: chungs40@hanmail.net

이용효율이 높고 표면에 평행한 전기장을 만들도록 빛을 쪼이는 시료의 앞면에 두 개의 전극을 부착시킨 전면 2전극 방법으로 인듐을 사용하여 제작하였다. 광전류 측정에서 광원은 120 V-1000 W 텅스텐 할로겐 램프와 일본 Shimadza AQV 50 spectrometer를 사용하였고, 각 파장에서 광원의 세기는 110 V 3 kW 가변 변압기로 조절하여 일정한 값으로 규격화하였다. 시료에 인가된 바이어스 전압은 전전지를 조합하여 0~3 volt 사이에서 적절한 값을 찾아 사용하였다. 광전류는 일본 TOA PM-18R DC microvolt ammeter를 사용하여 측정하였으며 전류계의 출력은 X-Y 기록계 (Dupont 990 thermal analyzer용)에 연결하여 기록하였다. 광발광 측정에 사용된 광원은 파장이 325 nm인 He-Cd laser 이었고, 1800 grooves/nm의 holographic grating이 장착된 double monochromator를 사용하여 300~630 nm의 파장영역에서 PL 스펙트럼을 측정하였다.

3. 결과 및 고찰

Fig. 1은 인듐 조성이 10% 정도인 의도적으로 불순물을 첨가하지 않은 In_{0.07}Ga_{0.93}N 박막에 대하여 실온에서 측정된 OA와 PC, PL 스펙트럼을 비교하여 나타낸 것이다. 그림에서 보듯이 3.45 eV 위치에 있는 OA와 PC 피크는 GaN 띠 간격과 관련된 것이며, 3.20 eV 위치에 있는 PC와 PL 피크는 In_{0.07}Ga_{0.93}N 박막의 띠 간격에 해당하는 것으로 생각된다. 또한 OA 측정 결과에서도 흡수가 개시 (onset) 되는 부분이 PC와 PL에서 얻어진 결과와 잘 일치함을 볼 수 있다. PL 결과로부터 인듐 조성에 대한 평가는 $E_g(x) = xE_{g,GaN} + (1-x)E_{g,InN} - bx(1-x)$ 에 의해 결정된 것이다. 여기에서 $E_{g,GaN}$ 는 GaN 띠간격, $E_{g,InN}$ 는 InN 띠간격, b는 concentration-independent bowing parameter

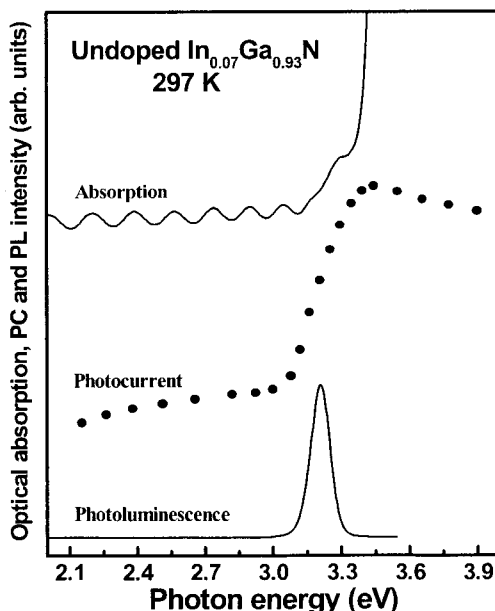


Fig. 1. Optical absorption, photocurrent and photoluminescence spectra of undoped In_{0.07}Ga_{0.93}N epilayer.

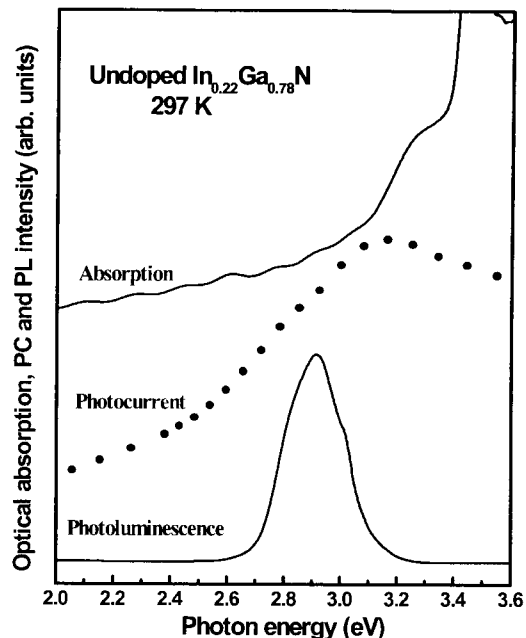


Fig. 2. Optical absorption, photocurrent and photoluminescence spectra of undoped In_{0.22}Ga_{0.78}N epilayer.

로 이들 값은 각각 3.4 eV⁸, 1.9 eV⁹와 1¹⁰을 적용하였다.

Fig. 2는 인듐 조성이 상대적으로 많고 의도적으로 불순물을 도핑하지 않은 In_{0.22}Ga_{0.78}N 박막에 대한 OA와 PC, PL 스펙트럼을 비교하여 나타낸 것이다. OA와 PC에서 얻어진 3.11 eV 위치에 있는 피크들은 실질적인 InGaN 박막의 띠 간격에 해당하는 것이며, PL에서 보이는 주 피크와 PC에서 보이는 2.91 eV 위치의 피크는 In_{0.22}Ga_{0.78}N 박막의 띠 간격과는 무관한 것으로 보인다. 이 피크는 Fig. 1에서 보여주었던 인듐 조성이 10% 이하로 적게 들어간 시료의 경우에는 OA와 PC, PL의 결과가 모두 잘 일치하고 있으나 인듐 조성이 22% 일 때는 OA와 PC 및 PL 피크가 약 250 meV 정도 차이가 나타났다. 이러한 현상은 이미 여러 논문에서 보고되었듯이^{11~13} 인듐 성분이 증가함에 따라 발생하는 상분리 현상과 관련된 것으로 보인다. 즉, 의도적으로 도핑하지 않은 In_xGa_{1-x}N 박막의 경우 인듐 조성이 증가할수록 발광 기구는 In-rich 영역에서의 엑시톤의 재결합에 의한 것으로 생각된다. 그러나 In_xGa_{1-x}N 박막에 Si을 도핑 할 경우 이러한 현상은 현저하게 사라졌다.

일반적으로 결정성장에서 PL 세기 증가와 결정의 질 향상을 위해 InGaN 활성층에 Si을 도핑을 하게 된다.¹⁴ Si이 도핑 된 InGaN에 대해서 인듐 조성의 평가는 XRD 결과로부터 결정하였는데 이를 Fig. 3에 나타내었다. 인듐 조성을 변화하여 측정한 결과 그림에서 보듯이 GaN과 InGaN 피크들이 뚜렷하게 분리되어 나타났는데, 이 결과를 Vegard's law : $2\theta(x) = x2\theta(\text{InN}) + (1-x)2\theta(\text{GaN})$ 에 적용하여 결정된 인듐 조성의 값은 PL의 결과로부터 얻어진 성분 값과 거의 일치함을 알 수 있었다.

Fig. 4는 Si이 도핑 된 In_{0.1}Ga_{0.9}N 박막에 대하여 OA와 PC, PL을 실온에서 측정한 결과를 비교한 것이다. OA와

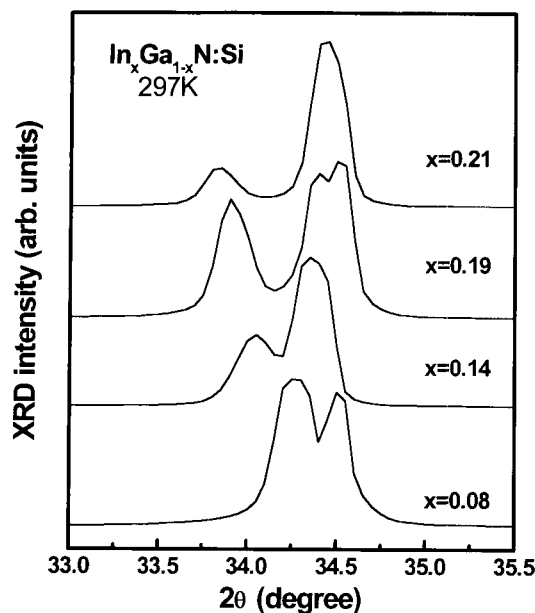


Fig. 3. X-ray diffraction patterns of Si-doped $\text{In}_x\text{Ga}_{1-x}\text{N}$ epilayers.

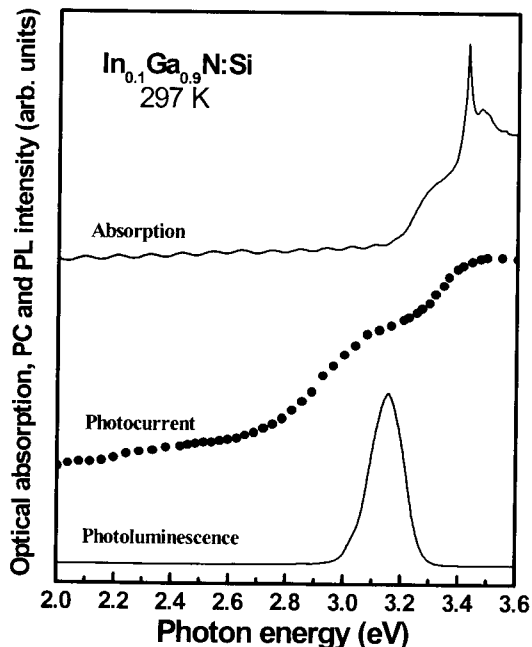


Fig. 4. Optical absorption, photocurrent and photoluminescence spectra of Si-doped $\text{In}_{0.1}\text{Ga}_{0.9}\text{N}$ epilayer.

PC에서 측정된 3.43 eV 위치는 GaN 띠 간격과 관련된 것이고, 3.15 eV 위치에 있는 피크는 $\text{In}_{0.1}\text{Ga}_{0.9}\text{N}:Si$ 박막의 띠 간격에 해당하는 것으로 이 피크는 OA나 PC, PL 모두에서 잘 일치함을 볼 수 있다. 앞의 Fig. 1, 2에서 보았듯이 의도적으로 불순물을 첨가하지 않은 InGaN의 경우 인듐 조성이 10% 이하 일 경우, OA와 PC, PL을 측정한 InGaN 띠 간격은 모두 일치하였으나 반면에 인듐 조성을 20% 이상으로 증가하여 OA와 PL을 측정한 결과에서는 InGaN 띠 간격 약 250 meV 정도의 차이가 있었음을 알 수 있었다. 따라서 Si를 도핑한 InGaN 박막의 경우 인듐

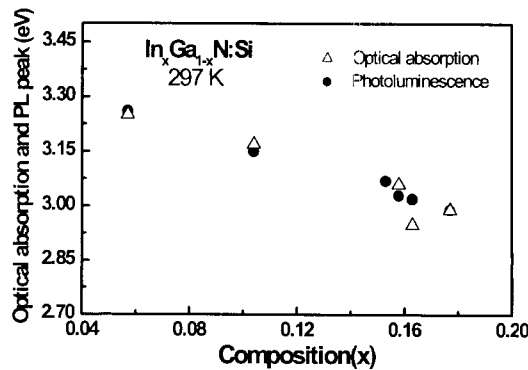


Fig. 5. Composition dependences of optical absorption and photoluminescence of Si-doped $\text{In}_x\text{Ga}_{1-x}\text{N}$ epilayers.

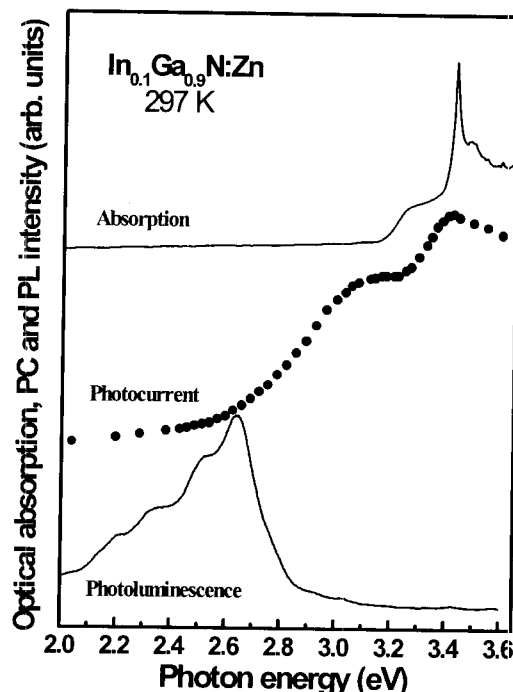


Fig. 6. Optical absorption, photocurrent and photoluminescence spectra of Zn-doped $\text{In}_{0.1}\text{Ga}_{0.9}\text{N}$ epilayer.

조성 증가에 따른 이같은 특성을 알아보기 위해서 인듐 조성을 변화하여 OA와 PL을 측정하였다.

Fig. 5는 Si이 도핑된 $\text{In}_{0.1}\text{Ga}_{0.9}\text{N}$ 박막의 경우 인듐 조성 증가에 따른 OA와 PL결과를 나타낸 것이다. 그림에서 알 수 있듯이 Si이 도핑된 $\text{In}_{0.1}\text{Ga}_{0.9}\text{N}$ 박막의 경우에는 인듐 함량이 증가하여도 OA와 PL의 결과가 거의 일치함을 볼 수 있다. 따라서 이 같은 현상은 Si을 도핑 함으로써 InGaN에서 PL 피크가 실제 인듐 성분보다 더 작은 위치에서 나오는 이유로 지적되는 potential fluctuation, In island의 형성, 상분리 현상을 줄여주는 계면활성제(surfactant) 효과가 있는 것으로 분석되어 진다.

일반적으로 발광중심(light-emitting center)의 효과를 얻기 위해서 InGaN 활성층에 Zn을 도핑하게 된다. Fig. 6은 Zn가 도핑 된 $\text{In}_{0.1}\text{Ga}_{0.9}\text{N}$ 박막에 대해 실온에서 측정된 OA와 PC, PL 스펙트럼을 나타낸 것이다. 3.42 eV의 피크들은 GaN 띠 간격이며, 3.15 eV의 피크들은 $\text{In}_{0.1}\text{Ga}_{0.9}\text{N}$

박막의 띠 간격에 해당하는 것이다. PL 스펙트럼에서 2.65 eV 위치한 피크는 Zn와 관련된 것으로 생각된다. 최근 Lee¹⁶⁾ 등이 의도적으로 불순물을 첨가하지 않은 In_{0.1}Ga_{0.9}N과 불순물로 Zn와 Si-Zn을 같이 도핑한 시료에 대하여 보고하였는데, 이들 보고에 의하면 In_{0.1}Ga_{0.9}N:Zn의 PL 실험에서 2.69 eV의 PL 피크는 깊은 반개 준위가 형성되어 전도대에서 이 반개 준위로 전이한다고 분석하고 있다. 따라서 본 논문에서 관측된 2.65 eV의 PL 피크는 이와 잘 일치하는 것으로 보아 전도대에서 Zn 반개준위로 전이되는 것으로 판단된다.

4. 결 론

MOCVD 방법으로 성장된 In_xGa_{1-x}N 박막에 대하여 상온에서 OA와 PC, PL을 측정하였다. 인듐 조성이 10% 이하인 의도적으로 불순물을 도핑하지 않은 In_{0.07}Ga_{0.93}N 박막의 경우에는 OA와 PC, PL를 측정한 결과 In_{0.07}Ga_{0.93}N 박막의 띠간격이 모두 잘 일치하였고, 인듐 조성이 상대적으로 큰 In_{0.22}Ga_{0.78}N 박막의 경우에는 OA와 PC, PL 스펙트럼을 측정한 결과 인듐 조성이 20% 이상 증가함에 따라 OA와 PC에서 결정된 In_{0.22}Ga_{0.78}N 박막의 띠간격이 PL에서는 약 250 meV의 차이가 나타났는데 이것은 상분리와 관련된 것으로 분석되었다. 그러나 Si이 도핑 된 In_xGa_{1-x}N 박막의 경우에는 인듐 조성비가 증가하여도 OA와 PC, PL에서 측정된 결과가 모두 잘 일치함을 볼 수 있었는데 이는 Si을 도핑 함으로써 InGaN에서 PL 피크가 실제 인듐 조성보다 더 작은 위치에서 나오는 효과를 줄일 수 있는 것으로 설명되어졌다. 또한 Zn가 도핑 된 In_{0.1}Ga_{0.9}N 박막에 대하여 OA와 PC, PL 측정한 결과 PL에서 2.65 eV의 피크는 Zn와 관련된 것으로서 이는 전도대에서 Zn 반개 준위로 전이하기 때문이다.

감사의 글

본 연구는 2001년도 호원대학교 교내연구비 지원에 의해 이루어졌으며, 이에 감사드립니다.

참 고 문 헌

1. S. Nakamura, M. Senoh, N. Iwasa and S. Nagahama,

- Jpn. J. Appl. Phys. **34**, L797 (1995)
2. S. Nakamura, M. Senoh, N. Iwasa, S. Nagahama, T. Yamada, and T. Mukai, Jpn. J. Appl. Phys. Lett. **34**, L1332 (1995)
3. S. Nakamura, T. Mukai, and M. Senoh, Appl. Phys. Lett. **64**, 1687 (1994)
4. S. Nakamura, M. Senoh, N. Iwasa, S. Nagahama, N. Iwata, T. Yamada, and T. Matsushita, H. Kiyoka, and Y. Swgimoto, Jpn. J. Appl. Phys. **35**, L74 (1995), Appl. Phys. Lett. **68**, 2105 (1996)
5. R. Singh, D. Doppalapudi, T.D. Moustakas, L.T. Roman, Appl. Phys. Lett. **70**, 1087 (1997).
6. Y. Narukawa, Y. Kawakami, M. Funato, S. Fujita, S. Nakamura, Appl. Phys. Lett. **70**, 981 (1997).
7. B. Yang, O. Brandt, B. Jenichen, J. Mulhauser, K.H. Ploog, J. Appl. Phys. **82**, 1918 (1997).
8. B. Monemar, Phys. Rev. **B10**, 676 (1974)
9. W.M. Yim, E.J. Stofko, P.J. Zanzucchi, J.I. Pankove, M. Ettenberg and S.L. Gilbert, J. Appl. Phys. **44**, 292 (1973)
10. K. Itoh, H. Amano, K. Hiramatsu and I. Akasaki, Jpn. J. Appl. Phys. **30**, 1604 (1991); K. Itoh, H. Amano, K. Hiramatsu and I. Akasaki, J. Cryst. Growth. **104**, 533 (1990)
11. N. Yoshimoto, T. Matsuoko, T. Sasaki, A. Kasui, Appl. Phys. Lett. **59**, 2251 (1991)
12. N. grandjean, J. Massies, M. Leroux, P. DeMierry, Appl. Phys. Lett. **72**, 3190 (1998)
13. H. Kanie, N. Tsukamoto, H. Koami, T. Totsuka, J. Crystal Growth. **189**, 52 (1998)
14. K. Uchida, T. Tang, S. Goto, T. Mishima, A. Niwa, and J. Gotoh, Appl. Phys. Lett. **74**, 1153 (1999)
15. S. Tanaka, S. Jwai, and Y. Aoyagi, Appl. Phys. Lett. **69**, 4096 (1998)
16. Cheul-Ro Lee, Jae-Young Leem, Sam Kyu Noh, Sung-Jin Son, Ki-Young Leem, J. Crystal Growth. **197**, 78 (1999)